

# 페라이트層을 갖는 結合 Image線路의 非可逆 結合 特性에 관한 研究

(A Study on the Nonreciprocal Coupling Characteristics  
of Coupled Image Guides Containing a Ferrite Layer)

尹相元\*

(Sang Won Yun)

## 要 約

페라이트層을 포함하는 結合 image 선로의 非可逆 結合 特性을 解析하였다. 解析에는 transverse resonance 方法과 有效 誘電率法이 사용되었다. 35GHz에서 結合 特性을 계산하였으며, 10GHz에서 實驗을 하여 理論에서 얻은 결과와 比較하였다.

## Abstract

Nonreciprocal coupling characteristics are studied in the several coupled image guide structures containing a ferrite layer. The analysis is based upon the transverse resonance and the effective dielectric constant approach. Numerical results at 35 GHz are presented, and experimental results as well as theoretical ones at 10 GHz are also discussed.

## I. 序 論

誘電體 導波管을 利用한 可逆 밀리미터波 素子들이 꾸준히 解析·開發되어 온 데 비해, 非可逆 特性을 갖는 素子에 대한 研究는 비교적 적은 편이다. 이는 誘電體 導波管을 利用한 밀리미터波 非可逆 素子 設計에 必要한 페라이트와 같은 磁性體의 置換 차화도와 외부 磁界的 세기가 非現實的으로 커져야 한다는 點에 기인한다.<sup>1</sup> 따라서, 從來의 마이크로波 帶域에서 使用되는 方式을 쓰기는 어려운 실정이다.

최근 image線路와 한 면이 도체에 접착된 페라이트 슬랩 사이의 非可逆 結合을 利用한 새로운 형의 isol-

ator가 제안 되었다.<sup>2)</sup> 이 素子는 페라이트 슬랩에서 얻어지는 非可逆 位相 定數를 利用한 것이다. 또한, 같은 原理를 이용하여 hollow image 선로의 일부를 페라이트 슬랩으로 대체하여 非可逆 結合 特性을 얻을 수 있음이 밝혀졌다.<sup>3)</sup>

本 論文에서는 非可逆 結合 特性을 얻을 수 있는 構造를 제시한다. 제시된 構造는 結合 image 선로에 페라이트層을 첨가하여 構成되었으며, 페라이트-유전체-도체(FDM)의 結合 構造와 유전체-페라이트-도체(DFM)의 結合 構造를 비교하였다. 解析에는 Modified transverse resonance 方法<sup>[4]</sup>과 有效 誘電率法을 利用하였다.

\*正會員, 西江大學校 電子工學科

(Dept. of Elec. Eng., Sogang Univ.)

接受日字 : 1985年 12月 28日

(\*本 研究는 1985학년도 西江大學校 學內研究造成費에 依한 것임.)

## II. 本 論

페라이트層을 포함하고 있는 結合 構造로서 그림 1에 제시된 세 가지를 생각한다. 각 構造는 세 영역으로 구성되어 있으며, 각 영역은 페라이트, 誘電體 또

는 공기층으로構成되어 있다. 그림 1의 (a)와 (b)는 DFM構造를 이용한 것이고<sup>[5]</sup> (c)는 FDM構造를 이용한 것이다.<sup>[3]</sup> 外部磁界는 모두 x方向으로 걸려 있으며, 非可逆結合特性을 얻을 수 있는  $E_{II}^*$ 모드만을 고려한다. 시간에 대해서는  $e^{j\omega t}$ 로 변화한다고 가정한다.

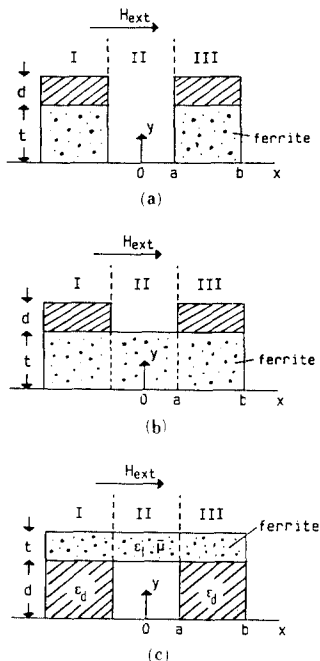


그림 1. 페라이트층을 포함하는 결합구조

- (a) 단순 결합구조
- (b) 반전된 hollow image guide형
- (c) Hollow image guide형

Fig. 1. Coupling structures with a ferrite layer.

- (a) Simple coupled image guide type.
- (b) Inverted hollow image guide type.
- (c) Hollow image guide type.

### 1. 固有值 解析

그림 1(b)構造에서 영역 I과 III의 y方向으로의 有效誘電率를 구하기 위하여 영역 I과 III을 그림 2(a)構造로 대치하여 생각한다. 이 영역은 DFM構造로 transverse resonance方法을 적용하기 위해 傳送線路를 이용하여 等價的으로 표시하면 그림 3을 얻는다. 여기서 각層을 나타내는 전송 선로의 등가 특성 임피던스는 x方向의 傳播定數에 逆比例하고, 길이는 각層의 두께가 된다.<sup>[4]</sup> 즉, 이構造의 傳播定數  $k_{z1}$ 은

$$k_{z1} = \epsilon_r \mu_0 k_o^2 - k_d^2 = \epsilon_d k_o^2 - k_d^2 = k_o^2 - k_a^2 \quad (1)$$

이며,  $\epsilon_r$ 와  $\epsilon_d$ 는 각각 페라이트와 유전체의 比誘電率이고,  $\mu_0$ 는 有效透磁率로서

$$\mu_0 = \frac{\mu^2 - k^2}{\mu}$$

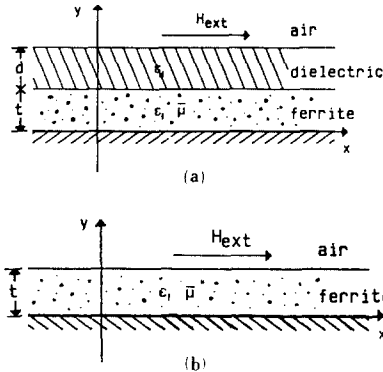


그림 2. 각 영역의 층구조 model

- (a) 영역 I과 II
- (b) 영역 II

Fig. 2. Layered structure model of each region.

- (a) Region I and III.
- (b) Region II.

로  $\mu$ 와  $k$ 는 투자율 텐서에서

$$[\bar{\mu}] = \mu_0 \begin{bmatrix} 1 & 0 & 0 \\ 0 & \mu & jk \\ 0 & -jk & \mu \end{bmatrix}$$

이다.<sup>[6]</sup> 따라서, transverse resonance條件은 그림 3에서

$$Z_L + Z_U = 0$$

즉,

$$k_f(k_d + k_a \tan k_d d) + [(\mu_e k_a - \sigma k_{z1}) (k_d + k_a \tan k_d d) - \mu_e (\epsilon_d - 1) \tan k_d d] \tan k_f t = 0 \quad (2)$$

여기서  $\sigma = k/\mu_0$ 이다. 식(2)의 固有值 方程式을 풀면  $k_{z1}$ 이 구해지며, 영역 I과 III의 有效誘電率  $\epsilon_{e1}$ 은  $\epsilon_{e1} = \epsilon_r \mu_e - (k_f/k_o)^2$  (3)이 된다.

그림 1(b)의 영역 II의 有效誘電率도 같은 原理로 구한다. 먼저 그림 2(b)構造로 대치하여 y方向으로의 等價回路를 구하면 그림 3에서  $1/k_d$ 의 特性 임피던스

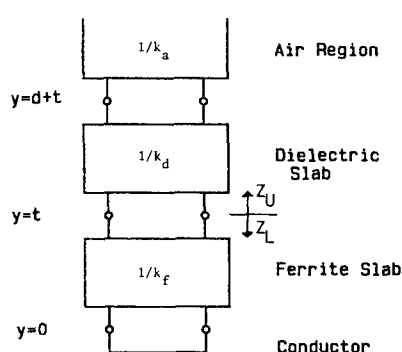


그림 3. 그림 2(a)의 y方向으로의 등가회로망

Fig. 3. Transverse equivalent network of Fig. 2(a).

스를 갖는傳送線路가 없는境遇에 해당한다. 이 영역에서 얻어지는固有值方程式은 z方向으로의傳播定數를  $k_{zz}$ 라 할 때

$$k'_r + (k'_a \mu_e - \sigma k_{zz}) \tan k'_r t = 0 \quad (4)$$

가 된다. 각層에서의y方向으로의 전파정수  $k'_r$ ,  $k'_a$ 과  $k'_d$ 은식(1)을만족시킨다. (4)식을풀어  $k_{zz}$ 를계산하여 영역II의有效誘電率  $\epsilon_{e2}$ 를구하면

$$\epsilon_{e2} = \epsilon_r \mu_e - (k_{zz}/k_0)^2 \quad (5)$$

이된다.

그림1(c)와같이FDM構造를利用한境遇에도위의方法을사용하여y方向으로의固有值方程式을유도하면, 영역I과III에대해서

$$\begin{aligned} \mu_e k_a k_r (1 + \tan k_a d) + [\mu_e (\mu_e k_a - \sigma k_{zz}) (k_a + k_a \tan k_a d) \\ - i (dk_{zz} - \mu_e k_a)^2 + k_r^2] \tan k_r t = 0 \end{aligned} \quad (6)$$

가얻어지며, 영역II에대해서

$$\begin{aligned} \mu_e k'_a (1 + \tan k'_a d) (\mu_e k'_a - \sigma k_{zz} + k'_r \tan k'_r t) - i (\sigma k_{zz} - \mu_e k'_a)^2 + k'_r^2 \cdot \tan k'_a d \cdot \tan k'_r t = 0 \end{aligned} \quad (7)$$

가얻어진다.<sup>3)</sup>식(6)과(7)을풀고식(3)과(5)로부터각영역의有效誘電率를얻을수있다.

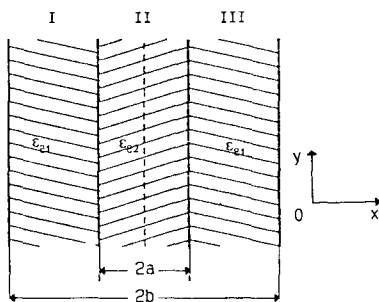


그림4. 그림1 구조들과등가한가상적인층구조  
Fig. 4. Hypothetical (layered) structure equivalent to structures in Fig. 1.

이제y方向으로구한有效誘電率을이용하여그림4와같은가상적인層構造(layered structure)를생각하여分散特性을구한다. 그림4에서보듯이構造는x=0를중심으로對稱성을가지므로x=0平面에電氣壁(奇모드)또는磁氣壁(偶모드)이있다고가정하여固有值方程式을유도한다. 먼저z方向의傳播定數를 $\beta_{e0}$ ( $\beta_e$ :偶모드,  $\beta_o$ :奇모드)라하면,

$$\beta_{e0}^2 = \epsilon_{e1} k_0^2 - \eta^2 = \epsilon_{e2} k_0^2 - \xi^2 = k_0^2 + \xi^2 \quad (8)$$

이만족되어야한다. 여기서 $\eta$ , $\xi$ 와 $\xi$ 는각각영역I, II 그리고공기층에서x方向으로의傳播定數이다.식(8)을이용하여그림3과같은transverse net-

work을構成하여transverse resonance條件을적용시키면

$$\begin{aligned} \eta \epsilon_{e1} (\xi - \eta \tan \eta w / \epsilon_{e2}) + \xi (\xi \epsilon_{e2} \tan \eta w + \eta) \left\{ \frac{\coth \xi a}{\sinh \xi a} \right. \\ \left. = 0 \right. \quad \text{(偶모드)} \\ \left. = 0 \right. \quad \text{(奇모드)} \end{aligned} \quad (9)$$

를얻으며여기서 $w=b-a$ 이다.식(8)과(9)를풀면그림1의세구조에대한分散特性을얻을수있다.

세구조에서얻어지는有效誘電率은각각주파수의함수이며,페라이트의非可逆特性으로인해傳播方向에따라다른값을갖는다.따라서分散特性도非可逆특성을갖는다.

## 2.結合特性

一般的인結合image線路의結合係數는그림5에서

$$|s_{21}| = |\cos[(\beta_e - \beta_o)l/2]| \quad (10)$$

$$|s_{31}| = |\sin[(\beta_e - \beta_o)l/2]| \quad (11)$$

로표시된다.<sup>17)</sup>여기서1은結合構造의길이이다.非可逆結合特性을利用하는方法의하나로isolation mechanism을생각하자. 그림5에서, 1을알맞게선택하여port1으로電力이공급되는경우port2로대부분의전력이전달되고(順方向), port2에서공급되는경우port4로結合되게(逆方向)하면된다.즉,

$$|s_{21}| = 1 \text{과 } |s_{31}| = 0 \quad (\text{順方向}) \quad (12)$$

$$|s_{12}| = 0 \text{과 } |s_{42}| = 1 \quad (\text{逆方向}) \quad (13)$$

을만족시키면된다.식(12)로부터順方向時

$$\Delta\beta l_r/2 = n\pi \quad n=1, 2, 3, \dots \quad (14)$$

을,逆方向時

$$\Delta\beta l_b/2 = (zm-1)\pi/2 \quad m=1, 2, 3, \dots \quad (15)$$

을얻을수있다.  $\Delta\beta = \beta_e - \beta_o$ 이고 $l_r$ ,  $l_b$ 는각각식(12)과(13)을만족시키는順方向,逆方向전파時요구되는結合構造의길이이다.  $l_r$ 와 $l_b$ 는 $m=n=1$ 인경우가장짧지만,값이서로다르기때문에 $m$ 과 $n$ 을조정하여두길이가비슷하도록하면된다.

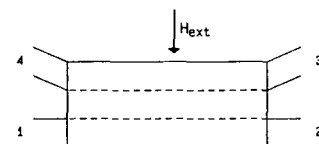


그림5. 그림1 구조들의평면도

Fig. 5. Top view of structures in Fig. 1.

## 3.結果

35GHz근처에서computer simulation을하였으며,

i) 경우 유전체는  $\epsilon_r = 9.6$ , 페라이트는  $\epsilon_r = 12.0$ ,  $4\pi M_s = 1.75 \text{ KG}$ ,  $H_{ext} = 5.0 \text{ KOe}$ 로 하였다. 그림6은 식(9)에서 얻은 그림 1(b) 구조의 分散 特性이며 다른 두

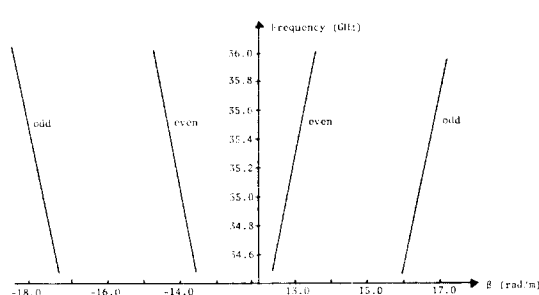
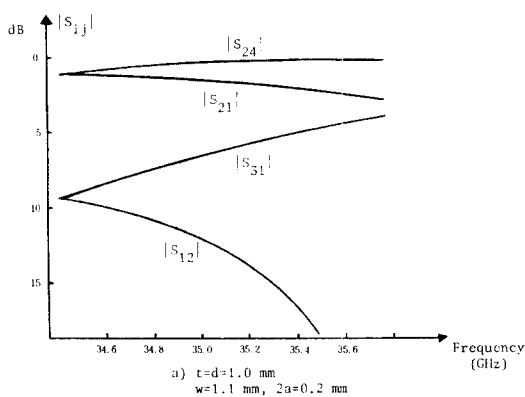
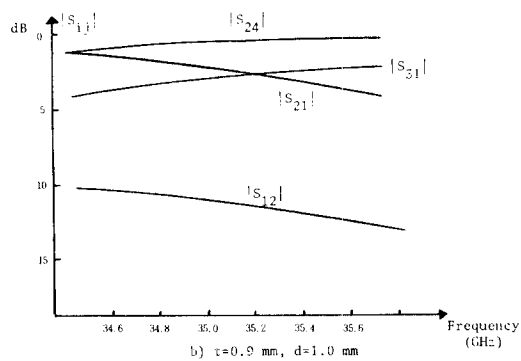


그림 6. 그림 1(b) 구조의 분산 특성 ( $t = 0.9 \text{ mm}$ ,  $d = 1.0 \text{ mm}$ ,  $a = 0.1 \text{ mm}$ ,  $b = 1.7 \text{ mm}$ )

Fig. 6. Dispersion characteristics the structure in of Fig. 1 (b).



a)  $t = d = 1.0 \text{ mm}$   
 $w = 1.1 \text{ mm}$ ,  $2a = 0.2 \text{ mm}$



b)  $t = 0.9 \text{ mm}$ ,  $d = 1.0 \text{ mm}$   
 $w = 1.7 \text{ mm}$ ,  $2a = 0.2 \text{ mm}$

그림 7. 이론적인 산란특성

(a) 결합 image guide형

(b) Inverted hollow image guide type

Fig. 7. Theoretical scattering coefficients.

(a) simple coupled image guide type.  
(b) Inverted hollow image guide type.

構造에서도 비슷한 特性을 얻을 수 있다。<sup>[3,5]</sup> 非可逆位相 定數 特性은 DFM構造를 사용할 때 FDM構造를 사용할 때 보다 더 두드러짐을 확인하였다. 이 分散 特性으로부터 식(10), (11)을 利用하여 계산된 分散 特性이 그림 7(a), (b)이다. 계산에 사용된 페라이트의 電子 스피드에 의한 共振 周波數  $f_0 = 16.27 \text{ GHz}$ 이므로, 有效 誘磁率이 陰의 値을 갖는  $f_0$ 근처에서充分히 멀리 떨어져 있다. 따라서, 이 效果들에 의해서는 35 GHz근처에서 非可逆 位相 定數만이 뚜렷이 나타나고, 이에 따른 非可逆 結合이 일어난다고 볼 수 있다.

위의 理論的인 結果를 확인하기 위하여 x-band에

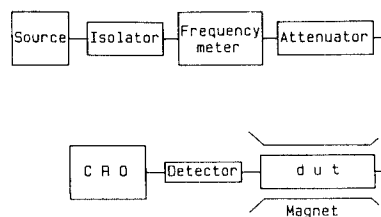
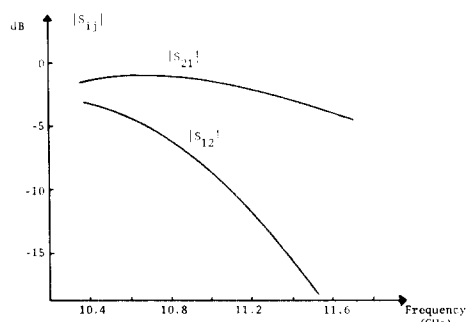
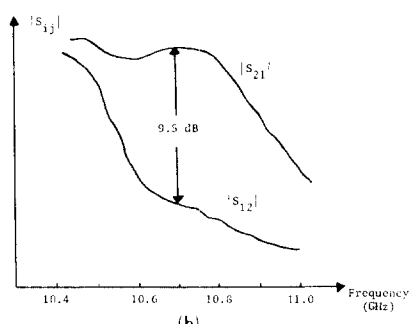


그림 8. 측정 장치도

Fig. 8. Experimental setup.



(a)



(b)

그림 9. X-Band에서의 산란특성, (a) 이론적

(b) 측정치 ( $t = 4.5 \text{ mm}$ ,  $d = 2.0 \text{ mm}$ ,  $a = 0.2 \text{ mm}$ ,  $b = 4.7 \text{ mm}$ )

Fig. 9. Scattering coefficients at X-Band.  
(a) Theoretical. (b) Measured.

서 그림 1(a)의 結合 構造를 제작하여 그림 8과 같은 실험 장치로 그 특성을 测定하였다. Sweep source로는 HP8260C를, 磁石은 Hall stabilizer가 달린 brucker社 제품 B-MN 155/45를 사용하였다. 그림 5에서 逆方向 傳播時 port 4로 結合되는 電力を 吸收시키기 위해, 또한 順方向時 port 3에 結合되는 小量의 電力を 제거하기 위해 두 port에 電磁波 吸收 物質(eccobond)을 접착시켰다. 實驗에 사용된 誘電體는 teflon ( $\epsilon_r = 2.5$ )이고, 페라이트는 TT2-130 ( $\epsilon_r = 11.47$ ,  $4\pi M_s = 987\text{G}$ )이며,  $H_{ext} = 1.0\text{KOe}$ 로 하였다. 이 경우 페라이트의 스팍 共振 周波數은 3.96GHz로 實驗 周波數 領域에서 充分히 멀리 떨어져 있다. 測定된 非可逆 結合 特性이 그림 9(b)이다. Image 線路를 透過 안내로 launching 시킬 때의 效率 및 周波數 特性까지 포함되어 있으므로, 理論值와의 염밀한 比較는 곤란하다. 그러나, 그림 9(a)의 理論的인 特性과 비교해 볼 때, isolation ( $|s_{21}| - |s_{12}|$ )은 그 變化 추세가 비슷하다. 최대 isolation은 10.7GHz에서 약 9.5dB를 얻었다. 10.8GHz 이상의 周波數 범위에서는  $|s_{12}|$ 보다 훨씬 더 큰 값을 갖는다.

### III. 結論

非可逆 結合 特性을 얻을 수 있는 image線路를 利用한 構造들이 제시되었다.

35GHz에서 理論的인 산란 계수를 계산하여, 結合 image guide 형이 다른 構造보다 더 큰 非可逆 結合 特性을 가짐을 알았다. 이 構造를 X-band에서 제작, 그 特性을 测定하였다. 10.7GHz에서 약 9.5dB의 isolation을 얻었다.

이러한 構造들은, 從來의 isolator 具現 方式이 갖는 문제점 없이 밀리미터波 帶域에서 isolator를 具

現하는 데 이용할 수 있다.

### 參考文獻

- [1] I. Awai and T. Itoh, "Coupled-Mode Theory Analysis of Distributed Nonreciprocal Structures," *IEEE Trans. Microwave Theory Tech.*, vol. MTT-29, pp. 1077-1086, Oct. 1981.
- [2] S.W. Yun and T. Itoh, "A Distributed Millimeter-wave Isolator Using Nonreciprocal Coupling Structure," *Int. J. Infrared and Millimeter-waves*, vol. 5, pp. 775-792, May 1984.
- [3] S.W. Yun and T. Itoh, "Nonreciprocal Wave Propagation in a Hollow Image Guide with a Ferrite Layer," *Proceedings of IEE*, vol. 132, pp. 222-226, July 1985.
- [4] I. Awai and T. Itoh, "Multilayered Open Dielectric Waveguide with a Gyrotropic Layer," *Int. J. Infrared and Millimeter-waves*, vol. 2, pp. 1-14, Jan. 1981.
- [5] 윤상원, 장익수, "페라이트層을 갖는 結合 誘電體 導波管에 관한 研究;" 대한전자 공학회 학제 종합학술대회 논문집, 제 8 권, 제 1 호, pp. 450-452, 1985년 8 월
- [6] R.F. Soohoo, *Theory and Application of Ferrites*, Prentice Hall, Inc., New Jersey, 1960.
- [7] J.F. Miao and T. Itoh, "Hollow Image Guide and Overlayed Image Guide Coupler," *IEEE Trans. Microwave Theory Tech.*, vol. MTT-30, pp. 1826-1830, Nov. 1982.